

金沢大学工学部 正員 高瀬信忠  
同上 正員 宇治橋康行

1 まえがき 流量時系列中には、その測定時間単位にかかわらず、流量パターンと呼ばれる明確なグループ（例えば高水流量と低水流量）が存在することは良く知られている。Panu らはこのような流量パターンに基づきパターン認識手法を応用した流量時系列の特徴予測とシミュレーションを行ない、著者らも冬雪地帯の月平均流量に対して適用し、その有用性を確かめた。しかし、年周期が明確でかつパターンクラスあるいはパターンベクトルの次元が少ない月流量データに対して、時間間隔の短いデータ（旬、半旬、日等）に対して適用する場合、パターン分割等に問題が生じる。本研究は、パターン認識手法を用いたシミュレーション手法の旬平均流量データへの適用について検討したものである。解析には信濃川水系魚野川堀之内の昭和27年～昭和57年のデータを用いた。

2 旬平均流量データのパターン認識システム 流量時系列のパターン認識システム構成の詳細は参考文献に譲り、図-1に流れ图のみを示す。図-2に魚野川堀之内の旬平均流量のコレログラムを示す。図より一年の中に11旬の高水流量グループと25旬の低水流量グループが存在することが分る。したがって、基本的には2シーズンに分割すべきであるが、ここで日パターンベクトルの次元を大きくしない、各パターンベクトルの次元を同じにするところを考え、一年を又ケ月（6旬）単位の6シーズンに分割した。各シーズンの期間は、ピーチ-谷ヒストグラムおよび月単位での解析結果を参考にし、オ1パターン（3月上旬～4月下旬）、オ2パターン（5月上旬～6月下旬）、オ3パターン（7月上旬～8月下旬）、オ4パターン（9月上旬～10月下旬）、オ5パターン（11月上旬～12月下旬）、オ6パターン（1月上旬～2月下旬）とした。各パターンクラスのパターンベクトルの多変数正規性を Kolmogorov-Smirnov 検定を用いて検定した結果、オ1、オ5、オ6パターンは有義水準5%で多変数正規分布と見なされたが、他の3パターンは多変数正規分布と見なされなかつた。そこでこれらのパターンの各要素の周辺正規性を検定し、周辺正規性を満たさない要素に対して式(1)の Hinkley 変換を行なつた。各要素の変換指數を表-1に示す（0は対数変換）。

$$X_{ij} = (X_{ij}^T - 1) / T \quad (1)$$

パターンベクトルの分散-共分散行列の正規化された固有ベクトルを列に持つ行列を用いて線形変換を行ない、特徴抽出した結果、オ1パターンのオ6要素、オ2パターンのオ2要素、オ5パターンのオ3要素、オ6パターンのオ3、オ4要素で正負の値を生じた以外、他のすべての要素は正または負の値のみとなり、各パターンクラスの reference vector の数は、オ1・2・5の各パターンクラスで2個、オ3・4のパターンクラスで1個、オ6パターンクラスで4個の計14個であつた。各パターンクラスの代表

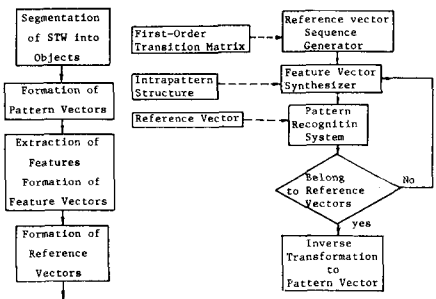


図-1 パターン認識システム及びデータシミュレーションの流れ図

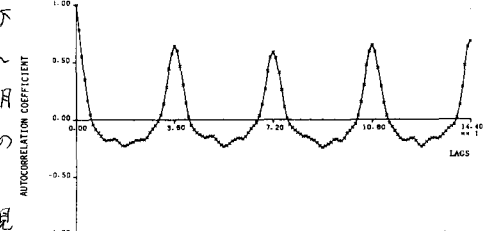


図-2 魚野川堀之内旬平均流量のコレログラム

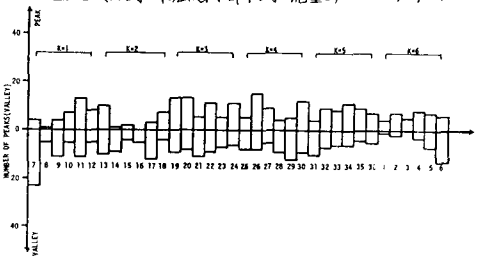


図-3 魚野川堀之内旬平均流量のピーチ-谷ヒストグラム

表-1 パターンベクトル要素の変換指數

pattern class	power of Hinkley transform					
	1	2	3	4	5	6
2	0.4249	0.4874	0.4009	0.4132	0.5055	0.0754
3	0.2486	0.3748	0.0	0.0459	0.2862	0.2690
4	0.3111	0.0	0.0	0.3584	0.4527	0.1243

的 reference vector とその 95% 信頼限界を図-4 に示す。最小距離、誤認規準を用いて既定パターンを認識した結果、オ1パターンで1個、オ2パターンで4個、

オ5パターンで2個、オ6パターンで5個の誤認が生じたのみで認識の結果は良好であった。オ2パターンおよびオ6パターンで誤認のケースがやっかりるのは、パターンクラス内の reference vector の 95% 信頼限界の重なり合う部分がたりことと、オ6パターンクラスの場合のようにサブパターンクラスが多くなると各 reference vector の要素の標準偏差の相対精度が落ちるためと考えられる。各 reference vector の生態を表す一次マルコフ遷移行列を表-2 に示す。

3. データシミュレーション データシミュレーションの流れ図は図-1 に示すとおりである。前述のパターン認識システムと一次マルコフ遷移行列およびパターンベクトルの多変数正規分布に基づくデータシミュレーションの結果を、時系列レベルに対して

は表3 に、旬レベルに対しては表-4 にまとめられ表示す。表は30回のシミュレーションの平均値とその標準偏差を示してある。表-3、4 より明らかなように、実測値は時系列レベル、旬レベルとともに模擬発生値の 95% 信頼限界内にあり、旬レベル、時系列レベルの両方においてデータの再現性は良いと言える。シミュレーション結果の一例を図-5 に示すが、実測値模擬発生データは良く一致しており、この手法がデータシミュレーションだけでなく予測手法としても十分利用できることを示している。

4. おわりに 旬平均流量のようにパターンクラス、パターンベクトルの次元が大きい場合でも適当な変換と特徴抽出によりサブパターンの数を減少させることができ、この手法が十分用いられるものであることが確かめられた。ただ、一つのパターンクラスに多数のサブパターンが存在する場合、ここで用いた認識システムでは誤認の数が増加する。パターン分割の差の結果に及ぼす影響とともに今後の検討課題であろう。参考文献 1) U.S.Pamu, T.E.Ummy: Entropy Concept in Feature Extraction and Hydrologic Time Series Synthesis, Modeling Hydrologic Process, pp.101~115, 1977. 2) 高橋伸悟, 家原一: パターン認識手法による多雪地帯の流量時系列の解析ヒューリズム, 第4回水理講演論文集, 1985.

表-2 一次マルコフ遷移行列

		Reference vectors											
		11	12	21	22	31	41	51	52	61	62	63	64
Reference vectors	11	[0.333 0.667]											
	12	[0.167 0.833]											
21	[1.0]												
	22	[1.0]											
31	[0.233 0.767]												
	32	[0.429 0.0 0.429 0.142]											
41	[0.348 0.0 0.478 0.174]												
	51	[0.7 0.8]											
52	[0.0 0.0]												
	63	[0.692 0.308]											
64	[0.2 0.8]												

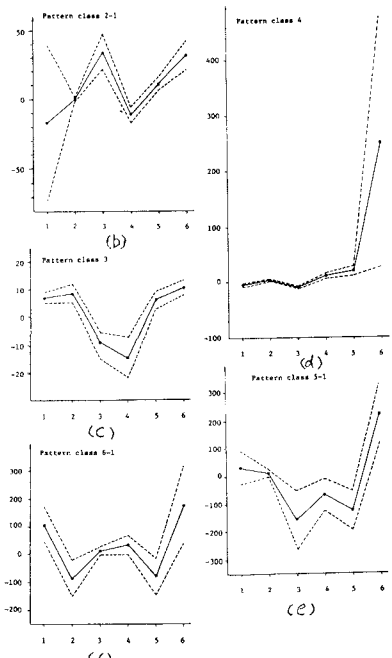


図-4 各パターンクラスの代表的 reference vector

表-3 時系列レベルでの統計量の比較

	mean	s.d.	lag 1 AC	skew.	kurt.	H-statistic
X	167.25	134.00	0.4967	1.703	6.155	0.533
S	15.73	54.69	0.3651	0.406	2.176	0.109
Hist.	161.43	120.20	0.783	1.944	6.806	0.525

表-4 旬レベルでの統計量の比較

	1	2	3	4	5	6	7	8	9	10	11	12
MEAN	103.1178	209.3995	97.4605	92.7115	91.8427	110.3311	122.2155	120.4016	230.1380	144.3867	84.8833	94.6903
STD	112.9120	23.7193	12.2211	92.0541	14.7308	14.9423	11.4375	46.8484	37.3495	84.9818	6.155	12.4443
DATA	102.9196	98.0882	90.3443	92.3343	91.1906	112.2809	124.7972	155.8264	230.3951	344.3857	445.0286	458.1348
	13	14	15	16	17	18	19	20	21	22	23	24
MEAN	99.7863	274.3632	10.0295	-37.782	14.4248	150.4758	101.9750	124.8784	124.3500	102.3919	24.2671	14.2414
STD	120.2245	37.0358	11.7233	30.6376	22.4493	206.2948	37.7878	23.4159	195.7117	44.5807	14.6494	14.6494
DATA	378.2302	269.5759	219.043	159.0396	156.4487	190.2976	162.8164	119.1552	117.1084	105.6482	104.3572	104.3572

Uno river(Horinouchi)

Historical Data  
Generated Data  
(Time Period; March 1952-  
to February 1982)

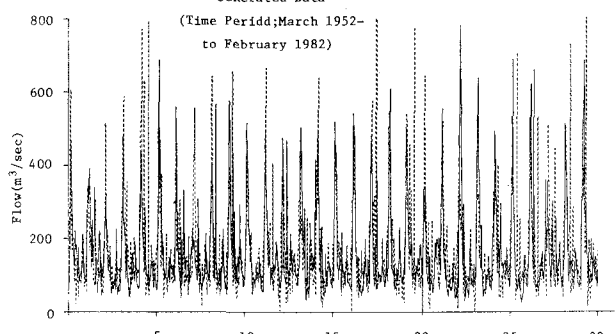


図-5 魚野川旬平均流量のシミュレーションの一例

用いるものであることが確かめられた。ただ、一つのパターンクラスに多数のサブパターンが存在する場合、ここで用いた認識システムでは誤認の数が増加する。パターン分割の差の結果に及ぼす影響とともに今後の検討課題であろう。参考文献 1) U.S.Pamu, T.E.Ummy: Entropy Concept in Feature Extraction and Hydrologic Time Series Synthesis, Modeling Hydrologic Process, pp.101~115, 1977. 2) 高橋伸悟, 家原一: パターン認識手法による多雪地帯の流量時系列の解析ヒューリズム, 第4回水理講演論文集, 1985.